

УДК 621.372.8

## ВЗАИМОДЕЙСТВИЕ МОД ПРИ ТРОЙНОМ ВЫРОЖДЕНИИ

Т. И. Бичуцкая, В. В. Новиков

Исследуется трансформация мод в плавном нерегулярном волноводе при трехкратном локальном вырождении собственного числа поперечного оператора. Изучается асимптотическое представление решения дифференциального уравнения третьего порядка с простой точкой поворота. Приводятся матрицы перехода от одной линии Стокса к другой.

При распространении волн в нерегулярном волноводе отмечалось [1-3] явление трансформации мод в нулевом приближении по параметру нерегулярности при наличии в спектре поперечного оператора двукратно вырожденного собственного числа. В настоящей работе мы рассмотрим этот вопрос при наличии в спектре поперечного оператора трехкратно вырожденного собственного числа. Последнее обстоятельство имеет место в регулярном волноводе, обладающем потерями в обеих стенках, при параметрах для импедансной модели  $|\delta_1| \approx 0,336$ ,  $\arg \delta_1 \approx -35^\circ$ ,  $|\delta_2| \approx 0,283$ ,  $\arg \delta_2 \approx -41^\circ$ ,  $h = 80 \text{ км}$ ,  $f = 10 \text{ кГц}$ . Указанные условия реализуются в волноводном канале Земля — ионосфера высотой 80 км на частоте 10 кГц. Исследуемая модель нерегулярного волновода такова, что высота его не меняется вдоль всей его длины, но одна стена имеет импеданс, постоянно равный значению  $\delta_1$ , а другая — плавно меняющийся импеданс  $\delta_2(x)$  вдоль продольной координаты  $x$ , так что условие вырождения одного из собственных чисел ( $\mu_n = \mu_{n+1} = \mu_{n+2} = \mu_0$ ) осуществляется лишь локально, при некотором  $x = x_0$ . При этом поведение собственных чисел в окрестности  $t_0(t(x)) = -i\delta_2(x)\beta$  представляется в виде разложения

$$\begin{aligned} \mu_i - \mu_0 &= \alpha_i^{-1} l^{-1/3} (t - t_0)^{1/3} - \alpha_i^{-2} \frac{m}{3} l^{-5/3} (t - t_0)^{2/3} - \\ &\quad - \alpha_i^{-3} l^{-3} \left( \frac{m^2}{9} + \frac{nl}{3} \right) (t - t_0) + \dots, \end{aligned} \tag{1}$$

где

$$\begin{aligned} l &= -\frac{t_0 + g_0}{f_0 + g_0} \frac{1}{6} f_\mu'''|_{\mu=\mu_0}, \quad m = -\frac{t_0 + g_0}{f_0 + g_0} \frac{1}{24} f_\mu^{IV}|_{\mu=\mu_0}, \\ n &= -\frac{t_0 + g_0}{f_0 + g_0} \frac{1}{120} f_\mu^V|_{\mu=\mu_0}, \quad f(\mu) = \frac{\sqrt{\mu(x)}}{\operatorname{tg} \sqrt{\mu(x)}}, \\ g &\equiv -i\delta_1\beta, \quad i = 1, 2, 3, \quad \alpha_i = 1, \quad e^{i2\pi/3}, \quad e^{-i2\pi/3}, \end{aligned}$$

с помощью которого исследуется характер особенности поперечных собственных функций и коэффициентов связи в продольной системе уравнений.

1. Нумерацию собственных чисел в окрестности  $\mu_0$ , т. е. идентификацию  $\alpha_i$ , проведем согласно картине линий нулей, представленной на рис. 1, где на плоскости  $\sqrt{\mu}$  изображены линии нулей первых трех мод при наличии трехкратного собственного числа. Пунктирными кри-

выми представлены линии нулей для  $\arg t < \arg t_0$ , сплошными — для  $\arg t > \arg t_0$ , жирные кривые являются отображением луча  $\arg t = \arg t_0$  на плоскость  $\sqrt{\mu}$ . Нумерация линий нулей соответствует нумерации точек выхода. В окрестности  $\sqrt{\mu_0}$  выделяются шесть различных секторов раствором  $\pi/3$ , в которые попадают собственные числа согласно приближенной формуле (1). Проведем на плоскости  $t - t_0$  (рис. 1) разрез по лучу  $\arg(t - t_0) = \arg t_0$  из точки  $t = t_0$ . Тогда этот луч и его продолжение разобьют плоскость  $t - t_0$  на такие две части, что значениям  $\arg(t - t_0) \in (\arg t_0, \arg t_0 + \pi)$  соответствуют собственные числа из сектора I на плоскости  $\sqrt{\mu}$ , а для  $\arg(t - t_0) \in (\arg t_0 + \pi, \arg t_0 + 2\pi)$  — из сектора II, т. е. весь верхний лист римановой поверхности  $t - t_0$  отобразится преобразованием (1) в собственные числа моды 2, нижний — в собственные числа моды 3 и самый нижний — в собственные числа моды 1. Коэффициенты  $\alpha_i$  следует расположить поэтому в следующем порядке:  $e^{i2\pi/3}, 1, e^{-i2\pi/3}$ .

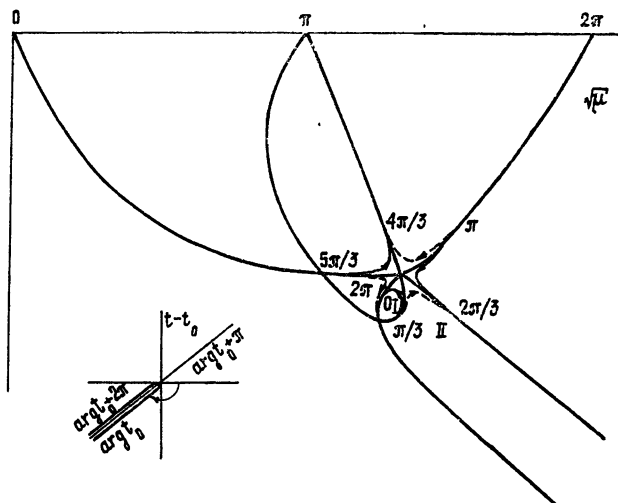


Рис. 1.

Будем осуществлять переход через точку вырождения на плоскости  $t$  так, чтобы нумерация мод при этом не менялась (не пересекался бы разрез). Тогда вектор  $\alpha = (e^{i2\pi/3}, 1, e^{-i2\pi/3})$  сохранит свои компоненты в другой части волновода, но будут наложены ограничения на  $\arg(x - x_0)$ , согласно приближенной формуле  $t - t_0 \approx t'_{x_0}(x - x_0)$ . Для импедансных свойств стенок в точке вырождения таких, что переход через эту точку соответствует на плоскости  $t - t_0$  переходу из левой (правой) полуплоскости относительно луча  $\arg t_0$  в правую (левую), следует выбрать  $\arg(x - x_0) = \begin{cases} \pi(-\pi) & (x < x_0) \\ 0 & (x > x_0) \end{cases}$ .

2. Снимем особенность в поперечных собственных функциях с помощью следующего перехода к новому базису:

$$\tilde{U} = SU, \quad (2)$$

где

$$S = \frac{1}{\sqrt{3}} \begin{pmatrix} \alpha_1^{-1} b^{1/3}, & \alpha_2^{-1} b^{1/3}, & \alpha_3^{-1} b^{1/3} \\ 1, & 1, & 1 \\ \alpha_1 b^{-1/3}, & \alpha_2 b^{-1/3}, & \alpha_3 b^{-1/3} \end{pmatrix},$$

$$b^{1/3} = \frac{\alpha_1 \mu_1 + \alpha_2 \mu_2 + \alpha_3 \mu_3}{3},$$

$\tilde{U}$  — вектор-столбец из трех новых поперечных функций,  $U$  — вектор-столбец из трех прежних функций. Тогда продольную систему уравнений с помощью процедуры, аналогичной рассмотренной в [3], приведем к виду

$$\varepsilon \frac{df}{d\xi} = \begin{pmatrix} 0, & 1, & \tilde{q} \\ \tilde{q}d, & 0, & 1 \\ d, & \tilde{q}d, & 0 \end{pmatrix} f + \varepsilon A_1^1 f, \quad (3)$$

где выписана лишь та часть  $f$ , которая соответствует волнам, распространяющимся в одном направлении, причем соответствующая часть  $\psi$  выглядит следующим образом:

$$\begin{aligned} \psi &= BT f \exp \left( \frac{1}{\varepsilon} \int_0^\xi \lambda_+ d\xi \right), \\ d^{1/3} &= \frac{1}{3} \sum_{i=1}^3 \alpha_i \lambda_i, \quad \tilde{q}d^{2/3} = \frac{1}{3} \sum_{i=1}^3 \alpha_i^{-1} \lambda_i, \\ \lambda_i^2 &= -(1 - \bar{\mu}_+) + \alpha_i^{-1} b^{1/3} + \alpha_i q b^{2/3}, \\ qb^{2/3} &= \frac{1}{3} \sum_{i=1}^3 \alpha_i^{-1} \mu_i, \quad \bar{\mu}_+ = \frac{\mu_+}{\beta^2}, \quad \mu_+ = \frac{1}{3} \sum_{i=1}^3 \mu_i, \\ \lambda_+ &= \frac{1}{3} \sum_{i=1}^3 \lambda_i, \quad \xi = \varepsilon x, \quad \varepsilon = (kL)^{-1}, \end{aligned} \quad (4)$$

$L$  — масштаб изменения импеданса  $\delta_2(x)$ ,  $A_1^1$  — неособенная матрица, матрицы  $B$  и  $T$  строятся аналогично тому, как это было сделано в [3].

Поведение  $d$  и  $\tilde{q}d$  в окрестности  $\xi = \xi_0$  легко определяется из указанных обозначений и разложения (1). Система (3) в окрестности  $\xi = \xi_0$ , где  $\mu \rightarrow \mu_0$ , в основном приближении по  $\varepsilon$  имеет эталонной систему трех уравнений первого порядка, которую запишем в виде одного дифференциального уравнения третьего порядка

$$\frac{d^3 W}{dy^3} - yW = 0, \quad (5)$$

где

$$W \equiv f_1, \quad y = \varepsilon^{-3/4} a^{1/4} (\xi - \xi_0), \quad a^{1/3} = -\frac{i}{2\sqrt{1 - \bar{\mu}_+}} l^{-1/3} (t'_{x_0})^{1/3}.$$

Уравнение (5) достаточно подробно исследовано в Приложении, где приведены степенные и асимптотические разложения его решений. Обсудим вопрос выбора решений (5) на основании их асимптотических представлений.

3. На комплексной плоскости  $x$  нас будут интересовать два луча:

$$\arg(x - x_0) = \pm\pi \quad \text{и} \quad \arg(x - x_0) = 0, \quad (6)$$

вдоль первого из которых распространяется поле до взаимодействия МОД, вдоль второго — после взаимодействия. На плоскости  $y$  (5) при ус-

ловии  $\arg t'_{x_0} \in (\arg t_0, \arg t_0 + \pi)$  лучи (6) соответствуют лучам  $y$ , расположенным в секторах  $\arg y \in (\pi/2, 3\pi/4)$  и  $\arg y \in (-\pi/2, -\pi/4)$  (рис. 2), содержащим линию анти-Стокса (линию, на которой скачком меняется асимптотика решений (5)). Поэтому следует область изменения  $\arg t'_{x_0}$  разделить на две подобласти и рассмотреть каждую из них отдельно. Проведем рассмотрение для одной из этих подобластей:

$$\arg t'_{x_0} \in \left( \arg t_0, \arg t_0 + \frac{\pi}{2} \right). \quad (7)$$

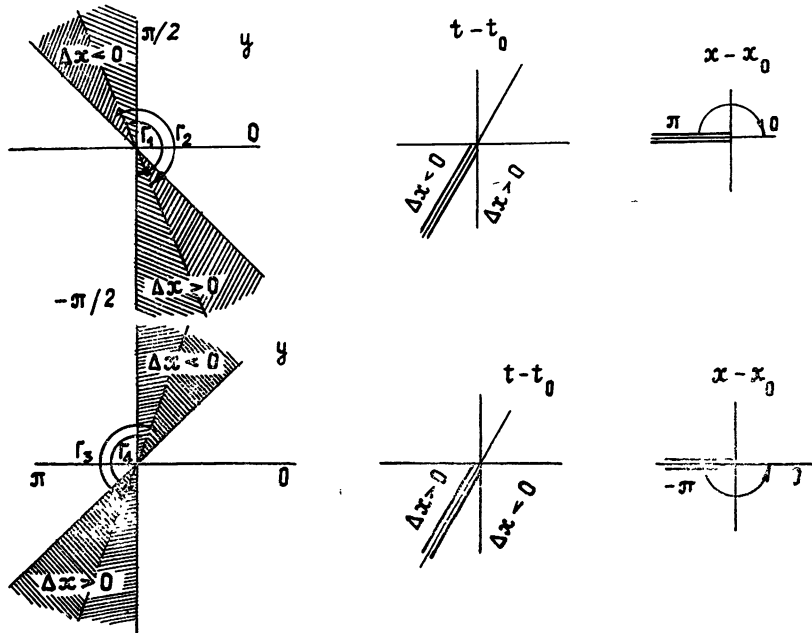


Рис. 2.

В секторе  $\arg y \in (\pi/2, 5\pi/8)$  в качестве решений (5) следует взять те, которые в указанном секторе имеют асимптотики в виде одной экспоненты, т. е.

$$W = E_1 (W_3 + W_2) + E_2 W_1 + E_3 W_2, \quad (8)$$

где  $W_i$  определены в Приложении. Асимптотика решения (8) при переходе к трехкомпонентному вектору  $f$  представлена в виде

$$f = \begin{bmatrix} \varepsilon^{1/4} \alpha^{-1/12} \alpha_1 (\xi - \xi_0)^{-1/3}, & \varepsilon^{1/4} \alpha^{-1/12} \alpha_2 (\xi - \xi_0)^{-1/3}, & \varepsilon^{1/4} \alpha^{-1/12} \alpha_3 (\xi - \xi_0)^{-1/3} \\ \varepsilon^{1/4} \alpha^{1/4}, & \varepsilon^{1/4} \alpha^{1/4}, & \varepsilon^{1/4} \alpha^{1/4} \\ \varepsilon^{1/4} \alpha^{7/12} \alpha_1^{-1} (\xi - \xi_0)^{1/3}, & \varepsilon^{1/4} \alpha^{7/12} \alpha_2^{-1} (\xi - \xi_0)^{1/3}, & \varepsilon^{1/4} \alpha^{7/12} \alpha_3^{-1} (\xi - \xi_0)^{1/3} \end{bmatrix} \times \begin{bmatrix} -E_1 \exp \left[ \frac{3}{4} \varepsilon^{-1} \alpha^{1/3} \alpha_1^{-1} (\xi - \xi_0)^{4/3} \right] \\ E_2 \exp \left[ \frac{3}{4} \varepsilon^{-1} \alpha^{1/3} \alpha_2^{-1} (\xi - \xi_0)^{4/3} \right] \\ E_3 \exp \left[ \frac{3}{4} \varepsilon^{-1} \alpha^{1/3} \alpha_3^{-1} (\xi - \xi_0)^{4/3} \right] \end{bmatrix}. \quad (9)$$

для  $(\xi - \xi_0) < 0$  и  $|\xi - \xi_0| < \text{const}_1 \varepsilon^x$ . Для  $|\xi - \xi_0| < \text{const}_2 \varepsilon^{3/4}$  решение (8) с учетом степенного разложения (П. 6) примет следующий вид при переходе к  $f$ :

$$f = \sqrt{\frac{3}{2\pi}} \begin{bmatrix} I_1, & I_2, & I_3 \\ I'_1, & I'_2, & I'_3 \\ I''_1, & I''_2, & I''_3 \end{bmatrix} \times \begin{bmatrix} 4^{-3/4} \Gamma\left(\frac{1}{4}\right) [-2E_1 + E_2(1-i) - E_3(1+i)] \\ 4^{-2/4} \Gamma\left(\frac{2}{4}\right) 2 [E_2 - E_3] \\ 4^{-1/4} \Gamma\left(\frac{3}{4}\right) [2E_1 + E_2(1-i) - E_3(1+i)] \end{bmatrix}, \quad (10)$$

где  $I_1 = 1 + \frac{1}{4!} y^4 + \frac{1 \cdot 5}{8!} y^8 + \dots$ ,  $I_2 = \frac{y}{1!} + \frac{1 \cdot 2}{5!} y^5 + \frac{1 \cdot 2 \cdot 6}{9!} y^9 + \dots$ ,  $I_3 = \frac{y^2}{2!} + \frac{1 \cdot 3}{6!} y^6 + \frac{1 \cdot 3 \cdot 7}{10!} y^{10} + \dots$ ,  $I'_1, I'_2, I'_3$  — продифференцированные по  $y$  ряды  $I_i$ ; так что при  $y \rightarrow 0$  ( $\xi \rightarrow \xi_0$ ) получим конечное значение решения  $f$  в точке связи:

$$f = \sqrt{\frac{3}{2\pi}} \begin{bmatrix} 1 & 0 & 0 \\ 0 & 1 & 0 \\ 0 & 0 & 1 \end{bmatrix} \begin{bmatrix} 4^{-3/4} \Gamma\left(\frac{1}{4}\right) [-2E_1 + E_2(1-i) - E_3(1+i)] \\ 4^{-2/4} \Gamma\left(\frac{2}{4}\right) 2 [E_2 - E_3] \\ 4^{-1/4} \Gamma\left(\frac{3}{4}\right) [2E_1 + E_2(1-i) - E_3(1+i)] \end{bmatrix}. \quad (11)$$

Асимптотическое представление (9) может быть продолжено через точку поворота с помощью матриц перехода (П. 5). Так что для  $\xi > \xi_0$  будем иметь

$$f = \begin{bmatrix} \varepsilon^{1/4} a^{-1/12} \alpha_1 (\xi - \xi_0)^{-1/3}, & \varepsilon^{1/4} a^{-1/12} \alpha_2 (\xi - \xi_0)^{-1/3}, & \varepsilon^{1/4} a^{-1/12} \alpha_3 (\xi - \xi_0)^{-1/3} \\ \varepsilon^{1/4} a^{1/4}, & \varepsilon^{1/4} a^{1/4}, & \varepsilon^{1/4} a^{1/4} \\ \varepsilon^{1/4} a^{7/12} \alpha_1^{-1} (\xi - \xi_0)^{1/3}, & \varepsilon^{1/4} a^{7/12} \alpha_2^{-1} (\xi - \xi_0)^{1/3}, & \varepsilon^{1/4} a^{7/12} \alpha_3^{-1} (\xi - \xi_0)^{1/3} \end{bmatrix} \times \begin{bmatrix} -E_3 e^{i\pi} \exp\left[\frac{3}{4} \varepsilon^{-1} a^{1/3} \alpha_1^{-1} (\xi - \xi_0)^{4/3}\right] \\ E_2 \exp\left[\frac{3}{4} \varepsilon^{-1} a^{1/3} \alpha_2^{-1} (\xi - \xi_0)^{4/3}\right] \\ (E_2 - E_3 - E_1) \exp\left[\frac{3}{4} \varepsilon^{-1} a^{1/3} \alpha_3^{-1} (\xi - \xi_0)^{4/3}\right] \end{bmatrix}. \quad (12)$$

Кроме того, для системы (3) можно построить в приближении ВКБ решение в виде

$$f = \begin{bmatrix} \alpha_1 d^{-1/3}, \alpha_2 d^{-1/3}, \alpha_3 d^{-1/3} \\ 1, 1, 1 \\ \alpha_1^{-1} d^{1/3}, \alpha_2^{-1} d^{1/3}, \alpha_3^{-1} d^{1/3} \end{bmatrix} \times \\ \times \begin{bmatrix} D_1 \exp \left[ \varepsilon^{-1} \int_0^{\xi} (\alpha_1^{-1} d^{1/3} + \alpha_1 \tilde{q} d^{2/3}) d\xi \right] \\ D_2 \exp \left[ \varepsilon^{-1} \int_0^{\xi} (\alpha_2^{-1} d^{1/3} + \alpha_2 \tilde{q} d^{2/3}) d\xi \right] \\ D_3 \exp \left[ \varepsilon^{-1} \int_0^{\xi} (\alpha_3^{-1} d^{1/3} + \alpha_3 \tilde{q} d^{2/3}) d\xi \right] \end{bmatrix}, \quad (13)$$

справедливо в области  $|\xi - \xi_0| > \text{const}_3 \varepsilon^{3/4}$ . Поэтому сшивая (13) в перекрывающихся областях с (9) слева и с (12) справа от точки связи, получим

$$E_1 = D_1^- A_1(a\varepsilon)^{-1/4}, \quad E_2 = D_2^- A_2(a\varepsilon)^{-1/4}, \quad E_3 e^{i\pi} = D_3^- A_3(a\varepsilon)^{-1/4},$$

$$E_3 e^{i\pi} = D_1^+ A_1(a\varepsilon)^{-1/4}, \quad E_2 = D_2^+ A_2(a\varepsilon)^{-1/4}, \quad E_2 - E_1 - E_3 = D_3^+ A_3(a\varepsilon)^{-1/4},$$

где  $D_i^- (D_i^+)$  — коэффициенты  $D_i$  слева (справа) от точки связи и  $A_i = \exp \left[ \varepsilon^{-1} \int_0^{\xi_0} (\lambda_i - \lambda_+) d\xi \right]$ ,  $i = 1, 2, 3$ . Таким образом, выразим  $D_i^+$  через  $D_i^-$ , а затем, возвращаясь от  $f$  к исходному базису  $\psi$ , а также к поперечному базису  $U_i$ , получим для  $H_y$  выражение

$$H_y = \frac{U_1 D_1^{+(-)}}{\sqrt{\lambda_1}} \exp \left( \varepsilon^{-1} \int_0^{\xi} \lambda_1 d\xi \right) + \frac{U_2 D_2^{+(-)}}{\sqrt{\lambda_2}} \exp \left( \varepsilon^{-1} \int_0^{\xi} \lambda_2 d\xi \right) + \\ + \frac{U_3 D_3^{+(-)}}{\sqrt{\lambda_3}} \exp \left( \varepsilon^{-1} \int_0^{\xi} \lambda_3 d\xi \right).$$

Связь  $D_i^+$  с  $D_i^-$  для  $\arg t_{x_0}' \in (\arg t_0, \arg t_0 + \pi)$  определяется с помощью матриц  $D^+ = \Gamma D^-$ ,

$$\Gamma_1 = \begin{pmatrix} 0 & 0 & A_3 A_1^{-1} \\ 0 & 1 & 0 \\ -A_1 A_3^{-1} & A_2 A_3^{-1} & 1 \end{pmatrix}, \quad \Gamma_2 = \begin{pmatrix} 0 & -A_2 A_1^{-1} & 0 \\ A_1 A_2^{-1} & 1 & 0 \\ 0 & A_2 A_3^{-1} & 1 \end{pmatrix}, \quad (14)$$

и матриц

$$\Gamma_3 = \begin{pmatrix} 0 & A_2 A_1^{-1} & 0 \\ -A_1 A_2^{-1} & 1 & A_3 A_2^{-1} \\ 0 & 0 & 1 \end{pmatrix}, \quad \Gamma_4 = \begin{pmatrix} 0 & 0 & -A_3 A_1^{-1} \\ 0 & 1 & A_3 A_2^{-1} \\ A_1 A_3^{-1} & 0 & 1 \end{pmatrix} \quad (15)$$

для  $\arg t_{x_0}' \in (\arg t_0 + \pi, \arg t_0 + 2\pi)$ .

Для обратного направления распространения поля из правой части волновода в левую относительно точки связи следует матрицы  $\Gamma_1 - \Gamma_4$  заменить на транспонированные (согласно теореме взаимности).

4. Таким образом, если в случае двукратно вырожденного собственного числа [3] прохождение через точку связи описывается с помощью матриц перехода

$$\Gamma_1 = \begin{pmatrix} 1 & A_2 A_1^{-1} \\ 0 & 1 \end{pmatrix}, \quad \Gamma_2 = \begin{pmatrix} 1 & A_2 A_1^{-1} \\ -A_1 A_2^{-1} & 0 \end{pmatrix},$$

$$\Gamma_3 = \begin{pmatrix} 1 & 0 \\ A_1 A_2^{-1} & 1 \end{pmatrix}, \quad \Gamma_4 = \begin{pmatrix} 1 & -A_2 A_1^{-1} \\ A_1 A_2^{-1} & 0 \end{pmatrix}$$

(что можно показать, если принять в [3] указанный в настоящей работе способ нумерации собственных чисел в окрестности точки вырождения), то для трехкратно вырожденного собственного значения матрицы перехода  $\Gamma_1 - \Gamma_4$  имеют вид (14), (15). Недиагональный характер матриц (14), (15) обеспечивает существование за точкой связи мод других номеров, вырождающихся с падающей в этой точке.

Для интерпретации полученных результатов (14), (15) изобразим (рис. 3) на плоскости  $\Delta\lambda_i = (-i/2\sqrt{1-\mu_+}) \alpha_i^{-1} \Delta t^{1/3} l^{-1/3}$  секторы,

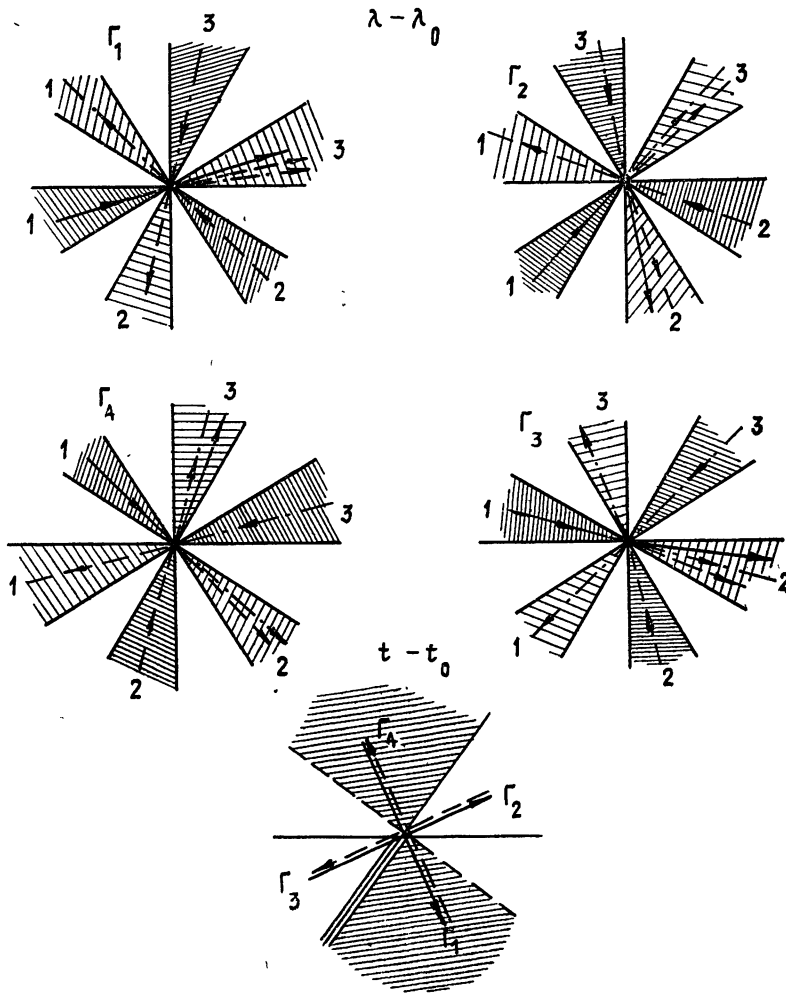


Рис. 3.

в которые попадают продольные собственные числа вырождающихся мод в окрестности точки связи для разных значений  $\arg t'_{x_0}$  ( $\arg \Delta t$ ), представленных на том же рисунке. На рисунке стрелками, входящими в точку  $\Delta t = 0$  ( $\Delta t = 0$ ), обозначены собственные числа (значения импеданса) в левой части волновода, а стрелками, выходящими из нее,— собственные числа (значения импеданса) за точкой связи, цифрами в секторах обозначены номера мод. Каждая картинка схематически отображает трансформацию мод, описываемую соответствующей матрицей  $\Gamma$ . Как следует из выражений (14), (15), трансформация мод в точке вырождения такова, что более быстро затухающие моды при прохождении точки связи становятся более медленно затухающими, а более медленно затухающие моды за точкой вырождения расщепляются на более быстро затухающие. В промежуточном случае возможны оба типа преобразования. Напомним, что матрицы  $\Gamma_1$ — $\Gamma_4$ , полученные с точностью до членов  $O(\epsilon)$ , описывают связь мод лишь для таких  $x$ , для которых справедливы асимптотические представления решений (8). В окрестности  $x_0$  решение описывается формулой типа (10).

Таким образом, наличие точки вырождения мод в нерегулярном волноводе приводит к тому, что связь мод становится критической и коэффициенты трансформации значительно больше тех, которые характеризуют преобразование мод в отсутствие вырождения. При тройном вырождении все три моды в равной мере участвуют в перераспределении энергии падающего поля, что имеет место в оптических волноводах как в отдельных [6], так и в связанных параллельных [7, 8], а также в волноводном канале Земля—ионосфера при условии его переменной освещенности.

### ПРИЛОЖЕНИЕ

Решение дифференциального уравнения

$$\frac{d^3 W}{dy^3} - yW = 0 \quad (\text{П.1})$$

получим в виде контурных интегралов Лапласа

$$W_i(y) = \sqrt{\frac{3}{2\pi}} \int_{L_i} \exp\left(py - \frac{p^4}{4}\right) dp \quad (i = 1, 2, 3, 4), \quad (\text{П.2})$$

которые связаны соотношениями

$$\sum_{i=1}^4 W_i(y) = 0, \quad (\text{П.3})$$

$$W_1(y) = \omega W_2(\omega y) = \omega^2 W_3(\omega^2 y) = \omega^3 W_4(\omega^3 y),$$

где  $\omega = e^{-i\pi/2}$  и контуры  $L_i$  изображены на рис. 4.

Асимптотики интегралов (П.2) будем искать методом перевала, в связи с чем перейдем к новым переменным

$$y = re^{i\theta}, \quad \zeta = pr^{-1/3},$$

тогда исследуемые интегралы предстанут в виде

$$W_i(y) = \sqrt{\frac{3}{2\pi}} r^{1/3} \int_{L'_i} \exp\left[r^{4/3} \left(\zeta e^{i\theta} - \frac{\zeta^4}{4}\right)\right] d\zeta. \quad (\text{П.4})$$

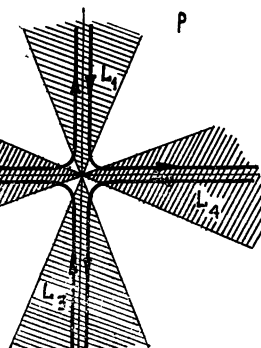


Рис. 4.

Седловые точки равны  $\zeta_1 = \alpha_1 e^{i\theta/3}$ , где  $\alpha_1 = 1$ ,  $\alpha_2 = -\frac{1}{2} + \frac{i\sqrt{3}}{2}$ ,  $\alpha_3 = -\frac{1}{2} - \frac{i\sqrt{3}}{2}$ . Контуры наибыстрейшего убывания (возрастания)  $\operatorname{Re}\left(\zeta e^{i\theta} - \frac{\zeta^4}{4}\right)$ , проходящие через седловые точки  $\zeta_i$  при изменении  $\theta$  в области  $0 \leq \theta < 2\pi$ , имеют асимптоты  $\arg \zeta = \frac{\pi}{2} n \left( \arg \zeta = \frac{2n+1}{4}\pi \right)$ ,  $n = 0, 1, 2, \dots$ . Перевальные контуры, проходящие через седловые точки, представляют собой кривые четвертого порядка. Анализ этих кривых показывает, что при  $\theta = \pi n/4$  найдется одна седловая точка, через которую проходит распадающаяся кривая на прямую и кривую третьего порядка. Динамика перевальных контуров с ростом  $\theta$  ( $0 \leq \theta \leq \pi/2$ ) представлена на рис. 5, где сплошными (пунктирными) кривыми изображены контуры наибыстрейшего убывания (роста) подынтегральной функции. Из рис. 5 видно, что при  $\theta = [(2n+1)/8]\pi$  происходит слияние двух перевальных контуров, проходящих через соседние седловые точки, и для  $\theta > [(2n+1)/8]\pi$  меняется положение концов этих перевальных контуров.

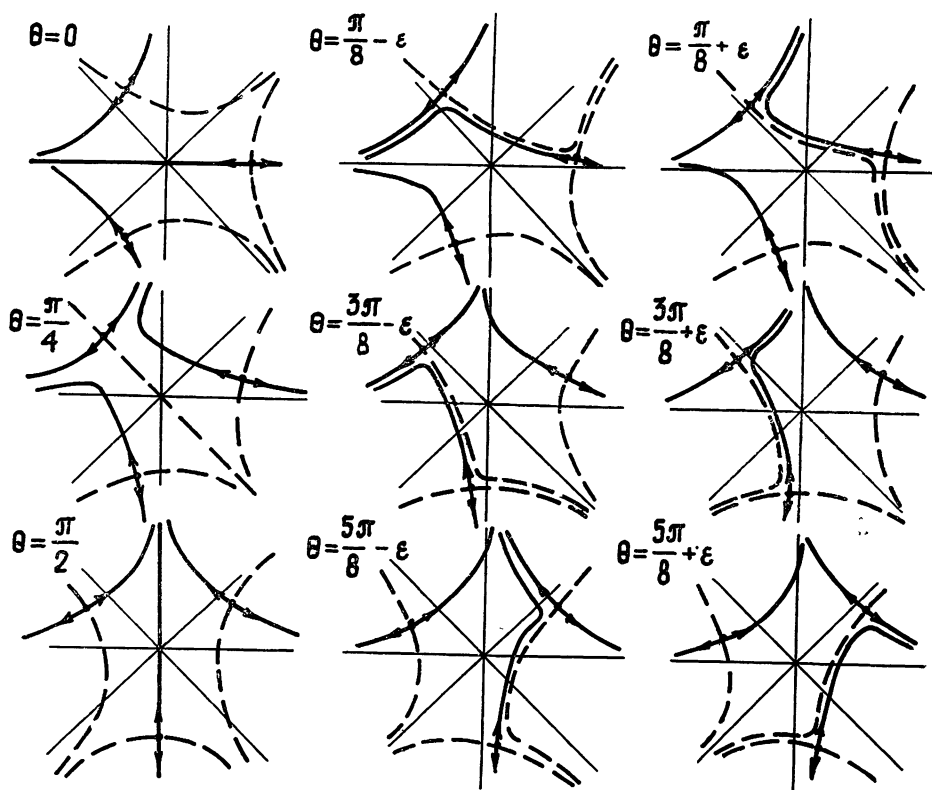


Рис. 5.

Используя динамику перевальных контуров и совмещая с ними последовательно исходные контуры интегрирования  $L_i$ , получим асимптотическое представление решений  $W_i(y)$  в разных секторах комплексной плоскости  $y$ .

Однако можно ограничиться построением асимптотик в одном секторе  $0 \leq \theta \leq \pi/2$ , а во всех других секторах построить асимптотики с помощью матриц перехода Стокса, выведенных из асимптотик в указанном секторе. Мы поступим именно таким образом.

Получим, например, асимптотику  $W_4(y)$  в секторе  $0 \leq \theta \leq \pi/2$ . Согласно (П.4)

$$W_4(y) = \sqrt{\frac{3}{2\pi}} \int_{-\infty}^{\infty} r^{1/3} \exp \left[ r^{4/3} \left( \zeta e^{i\theta} - \frac{\zeta^4}{4} \right) d\zeta \right].$$

При изменении  $\theta$  в секторе  $0 \leq \theta < \pi/8$  контур интегрирования, как следует из рис. 5, можно совместить с двумя стационарными контурами, проходящими через седловые точки  $\zeta_1 = e^{i\theta/3}$  и  $\zeta_3 = \exp \left[ i \left( \frac{\theta}{3} + \frac{4\pi}{3} \right) \right]$ .

Применяя метод перевала, получим

$$W_4(y) = \{e^{i\pi} y^{-1/3} \exp [(3/4)y^{4/3}] + e^{i\pi} \alpha_3^{-1} y^{-1/3} \exp [(3/4)\alpha_3 y^{4/3}]\} [1 + O(y^{-4/3})],$$

где  $y^{1/3}$ ,  $y^{4/3}$  — аналитическое продолжение в сектор  $0 \leq \theta < \pi/8$  тех ветвей этих функций, которые имеют аргумент, равный нулю при  $\theta = 0$ . В следующем секторе  $\pi/8 < \theta < 3\pi/8$  контур  $L_4$  следует совмещать с тремя стационарными контурами (см. рис. 5), и применение метода перевала дает

$$W_4(y) = \{e^{i\pi} y^{-1/3} \exp [(3/4)y^{4/3}] + e^{i\pi} \alpha_3^{-1} y^{-1/3} \exp [(3/4)\alpha_3 y^{4/3}] + \\ + \alpha_2^{-1} y^{-1/3} \exp [(3/4)\alpha_2 y^{4/3}]\} [1 + O(y^{-4/3})].$$

В секторе  $3\pi/8 < \theta < 5\pi/8$  будем иметь

$$W_4(y) = \{e^{i\pi} y^{-1/3} \exp [(3/4)y^{4/3}] + \\ + e^{i\pi} \alpha_3^{-1} y^{-1/3} \exp [(3/4)\alpha_3 y^{4/3}]\} [1 + O(y^{-4/3})].$$

Аналогично получается асимптотика всех остальных решений  $W_i(y)$  ( $i = 1, 2, 3$ ) в секторе  $\theta \in (0, \pi/2)$ . Выпишем асимптотическое представление решений  $W_i(y)$  ( $i = 1, 2, 3$ ), например, налуче  $\theta = 0$ :

$$W_1(y) = \{\alpha_2^{-1} y^{-1/3} \exp [(3/4)\alpha_2 y^{4/3}] + y^{-1/3} \exp [(3/4)y^{4/3}]\} [1 + O(y^{-4/3})],$$

$$W_2(y) = \{e^{i\pi} \alpha_2^{-1} y^{-1/3} \exp [(3/4)\alpha_2 y^{4/3}]\} [1 + O(y^{-4/3})],$$

$$W_3(y) = \{\alpha_3^{-1} y^{-1/3} \exp [(3/4)\alpha_3 y^{4/3}]\} [1 + O(y^{-4/3})],$$

Теперь перейдем к построению матриц перехода от одной линии Стокса к другой. Линиями Стокса [4] следует называть лучи, на которых любые два решения растут (или убывают) одинаковым образом. В нашем случае для уравнения (П.1) такими будут лучи  $\theta = \pi n/4$ . Рассматривая асимптотическое представление решения  $W_i(y)$  ( $i = 1, 2, 3, 4$ ) на лучах  $\theta = 0, \pi/4$ , а затем налуче  $\theta = \pi/2$  и выражая их через фундаментальные решения на этих лучах в виде

$$W_i = a_{i1}^{(1)} W_1^{(1)} + a_{i2}^{(1)} W_2^{(1)} + a_{i3}^{(1)} W_3^{(1)} \text{ для } \theta = \frac{\pi}{4} 2n,$$

$$W_i = a_{i1}^{(2)} W_1^{(2)} + a_{i2}^{(2)} W_2^{(2)} + a_{i3}^{(2)} W_3^{(2)} \text{ для } \theta = \frac{\pi}{4} (2n + 1),$$

где

$$W_1^{(1)} = y^{-1/3} \exp \left( \frac{3}{4} y^{4/3} e^{i2\pi/3} \right), \quad W_2^{(1)} = y^{-1/3} \exp \left( \frac{3}{4} y^{4/3} e^{-i2\pi/3} \right),$$

$$W_3^{(1)} = y^{-1/3} \exp\left(\frac{3}{4} y^{4/3} e^{i\pi}\right), \quad W_1^{(2)} = y^{-1/3} \exp\left(\frac{3}{4} y^{4/3} e^{i\pi/3}\right),$$

$$W_2^{(2)} = y^{-1/3} \exp\left(\frac{3}{4} y^{4/3} e^{-i\pi/3}\right), \quad W_3^{(2)} = y^{-1/3} \exp\left(\frac{3}{4} y^{4/3}\right)$$

и  $y > 0$ , можем ввести матрицу  $\Omega$ , связывающую одно разложение с другим,  $a_{ik}^{(2)} = \Omega_{kj} a_{ij}^{(1)}$ ,  $k, j = 1, 2, 3$ . Для перехода с линий Стокса  $\theta = \frac{\pi}{4} 2n$  на линии Стокса  $\theta = \frac{\pi}{4} (2n + 1)$  и с последних на линии  $\theta = \frac{\pi}{4} (2n + 2)$  ( $n = 0, 1, 2, \dots$ ) в направлении против часовой стрелки будем иметь матрицы

$$\Omega_1 = e^{-i\pi/12} \begin{pmatrix} 0 & 0 & 1 \\ 0 & 1 & 0 \\ 1 & 0 & e^{i\pi/3} \end{pmatrix}, \quad \Omega_2 = e^{-i\pi/12} \begin{pmatrix} 1 & 0 & 0 \\ 0 & e^{i2\pi/3} & 1 \\ 0 & 1 & 0 \end{pmatrix}. \quad (\text{П.5})$$

Любой другой переход (не на ближайшую линию Стокса) против часовой стрелки описывается с помощью последовательного перемножения матриц  $\Omega_1$  и  $\Omega_2$ , причем каждая последующая матрица при перемножении пишется слева от предыдущей. Для перехода на линии Стокса по часовой стрелке следует перемножать матрицы, обратные  $\Omega_1$  и  $\Omega_2$ .

Таким образом, в отличие от уравнений второго порядка [5] мы получили не одну, а две матрицы коэффициентов Стокса, описывающих асимптотическое продолжение решений с любой линии Стокса на всю комплексную плоскость  $y$ . Очевидно следует полагать, что для уравнения порядка  $n$  число таких матриц перехода равно  $n - 1$ .

Степенное разложение решений (П. 2) получим, разлагая в ряд Маклорена  $ery$  и вычисляя интегралы, являющиеся коэффициентами при степенях  $y$ . Так, для  $W_i(y)$  будем иметь

$$W_i(y) = W_i(0) \sum_{k=0}^{\infty} \frac{1 \cdot 5 \dots (4k - 3)}{(4k)!} y^{4k} + W'_i(0) \sum_{k=0}^{\infty} \frac{1 \cdot 2 \cdot 6 \dots (4k - 2)}{(4k + 1)!} \times \\ \times y^{4k+1} + W''_i(0) \sum_{k=0}^{\infty} \frac{1 \cdot 2 \cdot 3 \cdot 7 \dots (4k - 1)}{(4k + 2)!} y^{4k+2}, \quad (\text{П.6})$$

где

$$W_i(0) = \sqrt{\frac{3}{2\pi}} 4^{-3/4} \Gamma\left(\frac{1}{4}\right) e_i(0),$$

$$W'_i(0) = \sqrt{\frac{3}{2\pi}} 4^{-2/4} \Gamma\left(\frac{2}{4}\right) e'_i(0),$$

$$W''_i(0) = \sqrt{\frac{3}{2\pi}} 4^{-1/4} \Gamma\left(\frac{3}{4}\right) e''_i(0),$$

$$e(0) = \begin{pmatrix} 1-i \\ 1+i \\ -1+i \\ -1-i \end{pmatrix}, \quad e'(0) = \begin{pmatrix} 2 \\ -2 \\ 2 \\ -2 \end{pmatrix}, \quad e''(0) = \begin{pmatrix} 1+i \\ 1-i \\ -1-i \\ -1+i \end{pmatrix}.$$

## ЛИТЕРАТУРА

1. Budden K. G.—Math. Proc. Camb. Phil. Soc., 1975, 77, p. 567.
- 2 Молотков И. А., Старков А. С. Записки научных семинаров ЛОМИ АН СССР, 1978, 78, с. 138.
3. Бичуцкая Т. И., Новиков В. В.—Изв. вузов — Радиофизика, 1979, 22, № 7, с. 860.
4. Вазов В. Асимптотические разложения решений дифференциальных уравнений. — М.: Мир, 1968. — с. 462.
5. Евграфов М. А., Федорюк М. В. — УМН, 1966, 21, № 1, с. 3.
6. Шатров А. Д. — Радиотехника и электроника, 1979, 24, № 5, с. 1061.
7. Wilson L. O., Reinhardt F. K.—Bell. Syst. Techn. J., 1974, 53, p. 717.
8. Маркузе Д. Оптические волноводы. — М.: Мир, 1974 — с. 576.

Ленинградский государственный  
университет

Поступила в редакцию  
1 августа 1979 г.

## MODE INTERACTION AT TRIPLE DEGENERATION

*T. I. Bichutskaya, V. V. Novikov*

Mode transformation is investigated in a smooth irregular waveguide at triple local degeneration of the natural number of a transverse operator. Asymptotic presentation of a solution for the differential equation of the third order with a simple rotation point is studied. Transition matrices from one Stokes line to the other are given